

سازوکار احیای کنسانتره هماتیت-مگنتیت با مخلوط گرافیت-کربنات کلسیم به روش هوگانس*

مقاله پژوهشی

سید محمدعلی حقی^(۱) احد ضابط^(۲) مصطفی میرجلیلی^(۳)

چکیده

در این تحقیق سازوکار احیای کنسانتره هماتیت-مگنتیت با مخلوط گرافیت-کربنات کلسیم در دمای ۱۰۰۰°C بررسی شده است. بررسی‌ها نشان داد مراحل اولیه تا میانی احیای (تا ۶۳ درصد) عمدتاً تحت تأثیر انتقال حرارت داخل محفظه است. در مراحل میانی تا پایانی فرایند احیا، نفوذ گازی به فصل مشترک FeO-Fe به همراه واکنش گازی شدن کربن کنترل‌کننده فرایند احیاست. قبل از شروع واکنش گازی شدن کربن، نرخ احیا نسبتاً کند بوده و براساس نتایج آنالیز XRD آهن فلزی تشکیل نمی‌شود. بررسی مقطع نمونه‌های احیاشده نشان داد پیشروی فرایند احیا به صورت توالی شیمیایی و عمدتاً از سطح بیرونی استوانه به سمت داخل است. تصاویر میکروسکوپ الکترونی روبشی (SEM) نشان‌دهنده تشکیل آهن فلزی به صورت رشته‌های زیتر شده است.

واژه‌های کلیدی احیای کنسانتره، مخلوط گرافیت-کربنات کلسیم، انتقال جرم، واکنش گازی شدن کربن، سینتیک.

The Mechanism of the Reduction of Hematite-Magnetite Concentrate by Graphite-Calcium Carbonate Mixture in Hoggans Process

S.M.A. Haghi

A. Zabet

M. Mirjalili

Abstract

In this study, the mechanism of reduction of hematite-magnetite concentrate (HMC) by graphite-calcium carbonate reductant mixture at 1000 °C was investigated. The initial and middle stages of the reduction process (up to 63%) are mainly affected by the heat transfer inside the crucible. In the middle and final stages of the reduction process, the gaseous diffusion to the FeO-Fe reaction interface and the carbon gasification by CO₂ jointly controlled this progress. The reduction rate was relatively slow below the temperature at which the carbon gasification by CO₂ commences. According to the XRD analysis, prior to the carbon gasification, the metallic iron was not found. The reduction of the HMC hollow cylinder proceeded topochemically mainly from the outer surface. The SEM micrographs indicated the formation of sintered iron whisker.

Key Words Reduction, Graphite-Calcium Carbonate Mixture, Mass Transfer, Carbon Gasification, Kinetics.

* تاریخ دریافت مقاله ۹۸/۵/۵ و تاریخ پذیرش آن ۹۸/۸/۲۱ می‌باشد.

(۱) دانشجوی دکتری، گروه مهندسی متالورژی و مواد، دانشکده مهندسی، دانشگاه فردوسی مشهد.

(۲) نویسنده مسئول، دانشیار، گروه مهندسی متالورژی و مواد، دانشکده مهندسی، دانشگاه فردوسی مشهد.

(۳) استادیار، گروه مهندسی متالورژی و مواد، دانشکده مهندسی، دانشگاه فردوسی مشهد.

مقدمه

کنترل‌کننده احیای استوانه هماتیته در شرایط هم‌دما و غیرهم‌دما معرفی کرده‌اند. خاتوئی و روی [3] در آزمایش‌های خود میزان تأثیر چیدمان مواد داخل محفظه و جنس محفظه را در مقیاس پایلوت و صنعتی بررسی کرده‌اند. آن‌ها سیستم گندله‌های کامپوزیتی را به‌علت محدودیت کمتر در انتقال جرم و محفظه‌هایی از جنس SiC به‌علت ضریب نفوذ حرارتی بالاتر را به‌عنوان بهترین گزینه معرفی کردند، اگرچه بررسی علمی دقیقی روی سازوکار این فرایند انجام نداده‌اند. باتوجه به مطالعات کم درباره سازوکار کنترل‌کننده احیا در فرایند هوگانس، در این تحقیق سینتیک و سازوکار احیای کنسانتره هماتیت - مگنتیت به‌صورت گندله استوانه-ای توخالی با مخلوط‌کننده گرافیت-کربنات کلسیم بررسی شده است.

مواد و روش تحقیق

کنسانتره هماتیت-مگنتیت شرکت معدنی و صنعتی گل‌گهر با اندازه ذرات ۷۵ درصد وزنی عبوری از الک ۴۵ میکرون به‌عنوان منبع اکسید آهن استفاده شد. نتایج آنالیز شیمیایی کنسانتره با استفاده از فلورسانس اشعه ایکس (XRF) و شیمی‌تر در جدول (۱) نشان داده شده است. مخلوطی از گرافیت و کربنات کلسیم به‌عنوان احیاکننده استفاده شد. جدول (۲) آنالیز تقریبی مواد فرار، خاکستر و کربن ثابت گرافیت را نشان می‌دهد. نتایج آنالیز XRF و الگوی پراش اشعه ایکس (XRD) کربنات کلسیم به‌ترتیب در جدول (۳) و شکل (۱) آمده است.

جدول ۱ آنالیز شیمیایی کنسانتره هماتیت-مگنتیت (نمونه خشک‌شده)

ترکیب	Fe(total)	FeO	SiO ₂	CaO	SO ₃	LOI
درصد وزنی	۶۵/۷۳	۷/۹۵	۱/۸۱	۱/۰۲	۰/۳۳	۰/۹۵

جدول ۲ آنالیز شیمیایی تقریبی گرافیت

ترکیب	مواد فرار	خاکستر	کربن ثابت
درصد وزنی	۷/۶۹	۱/۶۹	۸۹/۲۸

فرایندهای تولید آهن اسفنجی به‌روش پایه زغال دارای مزایایی همچون امکان استفاده از زغال‌سنگ کک نشو و نرمه سنگ آهن [1] و حذف نیاز به پخت گندله است [2]. تولید آهن اسفنجی به‌روش کوره تونلی نسبت به دیگر فرایندهای پایه زغال دارای مزایایی شامل هزینه سرمایه‌گذاری اولیه پایین، اجرای آسان [3] و قابلیت اجرا در مقیاس‌های کوچک [4] است. علاوه بر آهن اسفنجی، پودر آهن با خلوص بالا نیز قابلیت تولید به‌روش کوره تونلی را دارد که در این فرایند از کک به‌عنوان احیاکننده استفاده شده و محصول به‌دست‌آمده در نهایت در اتمسفر H₂ نیز احیا می‌شود. یکی از مشکلات این فرایند، زمان طولانی احیا [4] و در نتیجه مصرف انرژی زیاد آن است [5].

پژوهش‌های متعددی روی سازوکار احیای اکسید آهن در فرایندهای پایه زغال انجام شده است. داتا [6] واکنش گازی شدن کربن با CO₂ را به‌عنوان مرحله کنترل‌کننده در احیای گندله‌های کامپوزیتی معرفی کرده است. ساه و داتا [2] نشان دادند که مراحل اولیه احیای گندله‌های کامپوزیتی با نفوذ گازی و مراحل پایانی به‌طور هم‌زمان با نفوذ گازی و واکنش‌های شیمیایی کنترل می‌شود. میسرا و روی [7] به این نتیجه رسیدند که هر دو پدیده انتقال جرم و انتقال حرارت بر نرخ احیای بستر چندلایه گندله‌های کامپوزیتی فرایند کوره سینی دوار (RHF) مؤثر هستند. سان و لو [8] و فروتینی و فروهان [9] استدلال کرده‌اند که انتقال حرارت رسانشی، نرخ احیای گندله‌های کامپوزیتی را کنترل می‌کند. اهمیت انتقال حرارت رسانشی در پژوهش دیگری نیز از سوی سان و لو [10] درباره احیا در بستر مخلوط نرمه سنگ آهن و زغال تأکید شده است. علاوه بر این، چادوری و همکاران [11] فرایند احیای گندله‌های کامپوزیتی در بستر فشرده را بررسی کرده و به این نتیجه رسیده‌اند که کنترل‌کننده فرایند در مراحل اولیه انتقال حرارت و در مراحل پایانی انتقال جرم است.

تحقیقات اندکی روی سازوکار احیا در فرایند کوره تونلی انجام شده است. موکرجی و همکاران [12,13] در پژوهش خود واکنش گازی شدن کربن را به‌عنوان مرحله

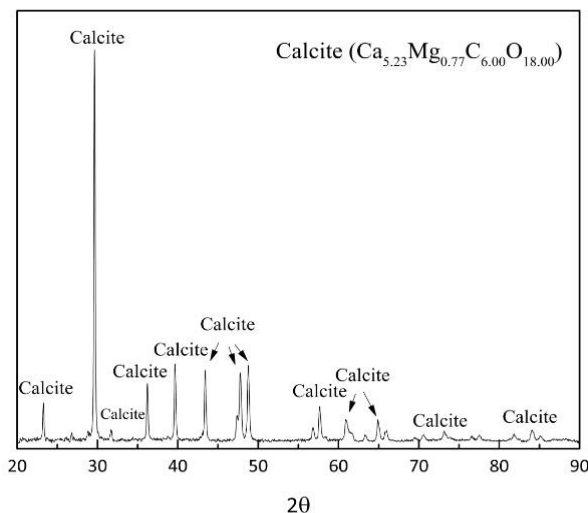
جدول ۳ آنالیز شیمیایی کربنات کلسیم

ترکیب	CaO	MgO	Fe ₂ O ₃	SiO ₂	SO ₃	LOI
درصد	۴۴/۰۴	۷/۴۱	۱/۷۹	۳/۶۸	۰/۶۰	۴۰/۸۲
وزنی						

استفاده شد. دو سوراخ با قطر ۲ میلی متر روی در محفظه برای قرارگیری ترموکوپل‌ها داخل مخلوط احیاکننده طراحی شد (شکل ۲). نمونه کنسانتره در محفظه قرار گرفت و مطابق شکل (۲) با مخلوط احیاکننده احاطه شد. در یک دسته از آزمون‌ها، پودر هماتیت با خلوص بیش از ۹۸ درصد با اندازه ذرات کمتر از ۴۵ میکرون ساخت شرکت LOBA Chemie به داخل مخلوط احیاکننده اضافه شد تا تأثیر افزایش در نرخ واکنش گازی شدن کربن بر نرخ احیا بررسی شود. مقدار استفاده شده بر اساس نتایج پژوهش شکبیا و همکاران [۱۵] تعیین شد. برخی مطالعات [16,17] نشان می‌دهد آهن فلزی ایجاد شده ناشی از احیای هماتیت دارای تأثیر کاتالستی بر واکنش گازی شدن کربن است. به منظور بررسی تأثیر قسمت درونی نمونه استوانه‌ای در فرایند احیا، دو دسته آزمون یکی با قراردادن پودر خنثی آلومینا در مرکز نمونه و دیگری با نمونه استوانه‌ای توپر انجام شد.

دمای داخل محفظه در دو نقطه با ترموکوپل‌های دارای پوشش و زمین نشده نوع K با قطر ۱ میلی متر که تا نیمه ارتفاع وارد محفظه شده‌اند (شکل ۲) اندازه‌گیری شد. دمای ثبت شده توسط ترموکوپل قرار گرفته در قسمت درونی نمونه (i) و ترموکوپل قرار گرفته در قسمت بیرونی نمونه (o) به ترتیب T_i و T_o نام‌گذاری شدند (شکل ۲). دیتالاگر ADVANTECH مدل USB-4718 به منظور جمع‌آوری داده‌های دما استفاده شد.

به منظور انجام آزمون‌های احیا، محفظه در دمای اتاق وارد کوره شد و کوره با نرخ گرمایش ۱۰ °C/min تا دمای ۱۰۰۰ °C حرارت داده شد. به منظور بررسی میزان پیشرفت احیا، آزمون‌های احیا در زمان‌های مختلف انجام شد. در تمام آزمون‌ها، پس از رسیدن به زمان مدنظر، محفظه بلافاصله از کوره خارج و در آب سرد شد. طراحی آزمایش‌ها بر اساس دمای T_o یا T_i و مدت ماندگاری محفظه در کوره پس از رسیدن دمای قسمت درونی (T_i) به ۹۵۰ °C (بیش از دمای واکنش گازی شدن کربن) انجام شد. علائم مربوط به آزمون‌ها در جدول (۴) فهرست شده است.



شکل ۱ آنالیز XRD کربنات کلسیم

مشابه فرایند کوره تونلی، نمونه‌های کنسانتره هماتیت - مگنتیت به صورت استوانه توخالی آماده شدند. به منظور رسیدن به استحکام مناسب و جلوگیری از تخریب نمونه حین احیا، ۱۸۰ گرم کنسانتره با ۲۷ میلی لیتر آب و ۲/۷ گرم بنتونیت سدیم مخلوط شد. مخلوط حاصل در قالب سنبه-ماتریس به صورت دستی پرس و در دو مرحله خشک شد: ۷۵ دقیقه در دمای ۱۱۰ °C و سپس ۹۰ دقیقه در دمای ۱۶۰ °C. نمونه ساخته شده کنسانتره دارای ابعاد تقریبی ۶۰ میلی متر ارتفاع، ۱۴ میلی متر قطر داخلی و ۳۸ میلی متر قطر خارجی بود.

مخلوط احیاکننده بر اساس نسبت مناسب به دست آمده در پایان‌نامه مختاری [۱۴] با مخلوط کردن گرافیت و کربنات کلسیم به نسبت ۵ به ۱ آماده شد. وزن گرافیت استفاده شده ۳۰ درصد بیش از میزان استکیومتری مورد نیاز برای احیای کامل اکسید آهن و معادل ۳۰ درصد وزن نمونه کنسانتره بود تا از اکسیداسیون مجدد نمونه در مراحل پایانی احیا جلوگیری شود. محفظه از جنس فولاد مقاوم به حرارت (A310) با ارتفاع ۱۰۰ میلی متر و قطر داخلی ۴۸ میلی متر

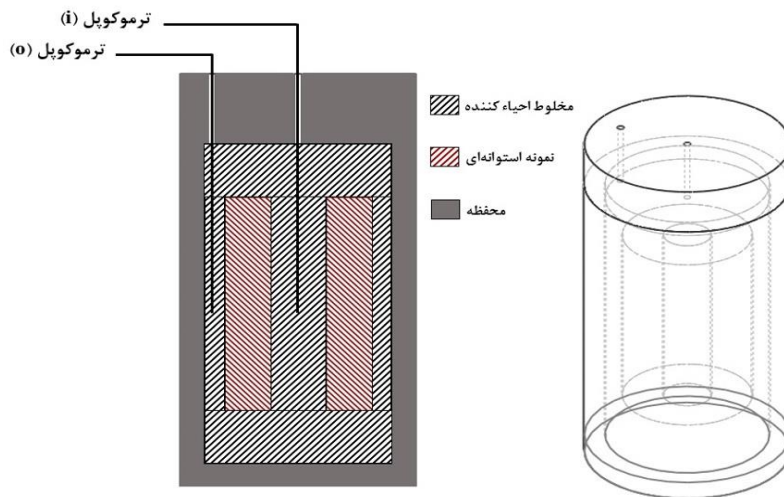
آرگون انجام شد. آنالیزهای (XRD) با دستگاه GNR با اشعه تکفام $\text{Cu-K}\alpha$ در محدوده $2\theta=20-90^\circ$ به منظور مشخصه‌یابی نمونه‌های احیاشده با نمونه‌گیری از قسمت مرکزی هر نمونه انجام شد. برای نمونه‌های T_{0-600} و T_{0-900} که استحکام کافی نداشتند، نمونه‌گیری پس از پودر کردن کل نمونه انجام شد.

نمونه‌های احیاشده در جهت‌های عرضی و طولی برش خوردند تا سطح مقطع آن‌ها مقایسه شود. میکروسکوپ SEM مدل LEO 1450 VP به منظور مطالعه مورفولوژی آهن فلزی استفاده شد.

درصد احیا (F) در هر مرحله با استفاده از رابطه (۱)

$$F = \frac{W_i - W_f}{RO} \times 100 \quad (1)$$

محاسبه شد: که W_i و W_f به ترتیب وزن اولیه و نهایی نمونه هستند که با ترازوی الکتریکی با دقت 0.01 گرم اندازه‌گیری شدند. RO وزن تئوری اکسیژن قابل حذف در نمونه کنسانتره است. به منظور بررسی محدوده دمایی آزاد شدن مواد فرار گرافیت، آنالیز توزین حرارتی (TG-DTA) با دستگاه Bahr STA 503 در نرخ گرمایش $10^\circ\text{C}/\text{min}$ در اتمسفر

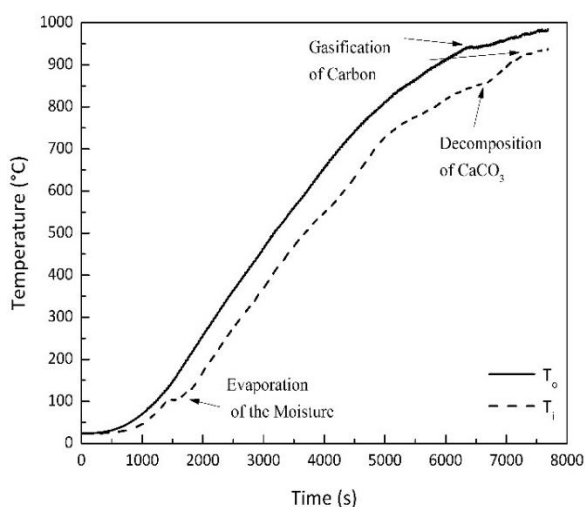


شکل ۲ نمای سه بعدی و مقطع ارتفاعی نحوه چیدمان مواد و قرارگیری ترموکوپل‌ها داخل محفظه

جدول ۴ نام‌گذاری آزمون‌های احیا

آزمون‌های مقایسه‌ای انجام شده		مدت زمان احیا	نام‌گذاری آزمون احیا
تأثیر قسمت درونی	تأثیر افزودن هماتیت		
×	×	احیا تا رسیدن دمای T_0 به 600°C	T_{0-600}
×	✓	احیا تا رسیدن دمای T_0 به 900°C	T_{0-900}
×	✓	احیا تا رسیدن دمای T_0 به دمای 1000°C	T_{0-1000}
×	✓	احیا تا رسیدن دمای T_i به دمای 950°C (گازی شدن کربن)	T_{i-950}
✓	✓	احیا تا ۲۰ دقیقه بعد از وقوع واکنش گازی شدن کربن در کل محفظه	$T_{i-950-20}$
✓	✓	احیا تا ۴۰ دقیقه بعد از وقوع واکنش گازی شدن کربن در کل محفظه	$T_{i-950-40}$
✓	✓	احیا تا ۶۰ دقیقه بعد از وقوع واکنش گازی شدن کربن در کل محفظه	$T_{i-950-60}$

محدوده $935-945^{\circ}\text{C}$ درباره هر دو منحنی قابل مشاهده است. این افت شیب نشان دهنده این است که وقوع واکنش گازی شدن کربن با انتقال حرارت و رسیدن دما به حداقل مورد نیاز محدود شده است که نشان دهنده اهمیت نرخ انتقال حرارت در این سیستم است. در پژوهش Liu و همکاران [19] وقوع واکنش گازی شدن کربن درباره زغال و کک نیز در دماهای بیش از 920°C مشاهده شد.



شکل ۴ منحنی های دما-زمان به دست آمده با ترموکوپل های درونی (T_i) و بیرونی (T_o)

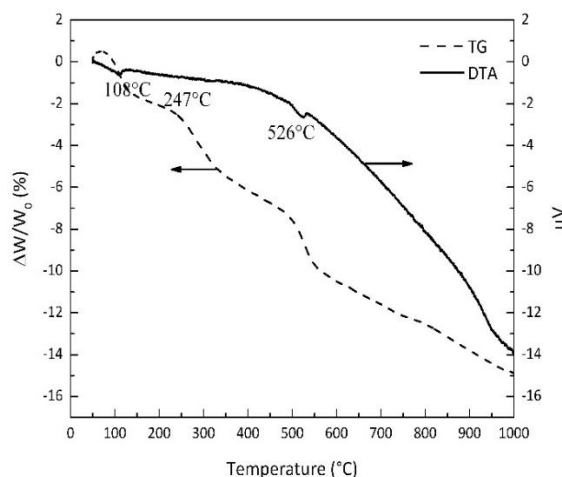
آزمون های احیا

نتایج آزمون احیا درباره مخلوط احیاکننده گرافیت-کربنات کلسیم در شکل (۵) نشان داده شده است. در $T_o=600$ ، گازهای CO و H_2 حاصل از آزاد شدن مواد فرار گرافیت می توانند در احیا شرکت کنند. سوهن و فروهان [20] بیان کرده اند که در محدوده دمایی $1000-1400^{\circ}\text{C}$ ، H_2 جزو اصلی مواد فرار در احیای اکسید آهن است. براساس محاسبات ترمودینامیکی [21]، در هر دمایی بیش از دمای محیط و در حضور H_2 و/یا CO ، هماتیت می تواند به مگنتیت احیا شود. در دمای آزاد شدن مواد فرار در این پژوهش (526°C)، احیای مگنتیت به آهن فلزی نیز هنگامی که نسبت های $\text{H}_2/\text{H}_2\text{O}$ یا CO/CO_2 به ترتیب برابر ۴ و ۱ باشند، امکان پذیر است [21]. بر اساس یافته های گالاگر و جانسون [22]، تجزیه کربنات کلسیم ممکن است در دمای کمتر از 600°C آغاز شود که

نتایج و بحث

آنالیز حرارتی گرافیت

نتایج آنالیز توزین حرارتی نمونه گرافیت در شکل (۳) نشان داده شده است. پیک گرماگیر در دمای 108°C مربوط به تبخیر رطوبت است. در 247°C ، کاهش وزن نمونه مشاهده می شود که بر اساس پژوهش گوش [1]، کاهش وزن در این محدوده دمایی ناشی از حذف آب ترکیبی است. پیک گرماگیر مربوط به آزاد شدن مواد فرار در دمای 526°C مشاهده می شود. بر اساس یافته های کسل و همکاران [18]، مواد فرار سبک همچون H_2 ، CO ، CO_2 و H_2O در دماهای کمتر از 600°C آزاد می شوند.

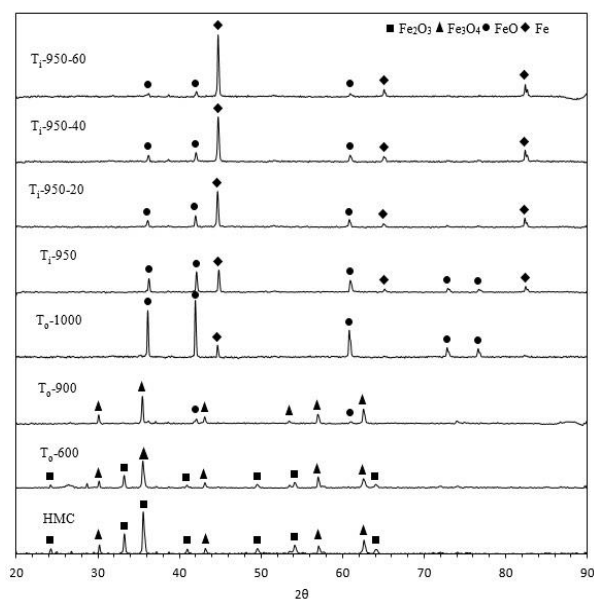


شکل ۳ آنالیز توزین حرارتی گرافیت انجام شده در نرخ گرمایش $10^{\circ}\text{C}/\text{min}$ در اتمسفر آرگون

منحنی های دما-زمان

منحنی های دما-زمان برای T_o و T_i در شکل (۴) نشان داده شده است. کاهش در شیب و در نهایت افقی شدن منحنی T_i در حدود 100°C ناشی از تبخیر رطوبت است. کاهش شیب در حدود 850°C مربوط به واکنش تجزیه کربنات کلسیم نیز در منحنی T_i مشاهده می شود. دو تحول تبخیر و تجزیه در منحنی T_o مشهود نیست که علت آن نزدیک بودن ترموکوپل بیرونی به سطح بیرونی و منبع حرارتی و جبران سریع تر گرمای مورد نیاز این دو تحول نسبت به قسمت درونی است. افت شیب مربوط به واکنش گرماگیر گازی شدن کربن در

مگنتیت احیا شده است. با وجود این در این نمونه، تشکیل آهن فلزی مشاهده نمی‌شود. علت این موضوع فشار جزئی ناکافی H_2 و CO حاصل از مواد فرار است. در نمونه T_0-900 ، دیگر اثری از هماتیت وجود نداشته و بخشی از مگنتیت نیز به وستیت احیا شده است. عدم حضور آهن فلزی در این نمونه احتمالاً ناشی از فشار جزئی پایین CO قبل از وقوع واکنش گازی شدن کربن است [19]. در شرایط آزمون نمونه T_0-1000 ، دما در مخلوط احیاکننده بیرونی از دمای واکنش گازی شدن کربن بیشتر شده و منجر به تکمیل واکنش احیای مگنتیت به وستیت و تشکیل آهن فلزی در این نمونه شده است. با پیشروی احیا از نمونه T_1-950 تا $T_1-950-60$ ، وزن آهن فلزی افزایش و وزن وستیت کاهش می‌یابد.



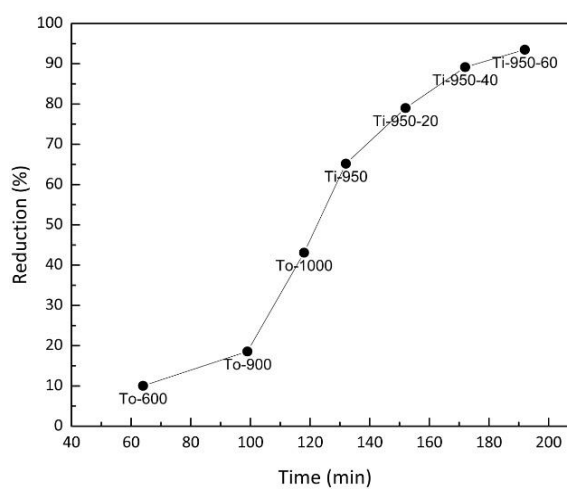
شکل ۶ آنالیز XRD نمونه‌های T_0-600 تا $T_1-950-60$ و نمونه کنسانتره

تأثیر انتقال جرم

به‌منظور بررسی تأثیر کنترل‌کننده انتقال جرم نفوذی، خامام و فلانگان [23] رابطه (۲) را برای هندسه استوانه‌ای پیشنهاد کرده‌اند:

$$(1 - (1 - \alpha)^{\frac{1}{2}})^2 = kt \quad (2)$$

وقوع این واکنش فشار جزئی CO_2 را در محفظه افزایش می‌دهد. بنابراین بعید به‌نظر می‌رسد در این شرایط فشار جزئی CO و H_2 به مقدار مورد نیاز برای احیای مگنتیت به آهن فلزی برسد. بر اساس نتایج آزمون‌های احیا (شکل ۵)، میزان احیای نمونه T_0-600 حدود ۱۰ درصد است که می‌توان آن را به احیای بخشی از هماتیت به مگنتیت با کمک مواد فرار نسبت داد.



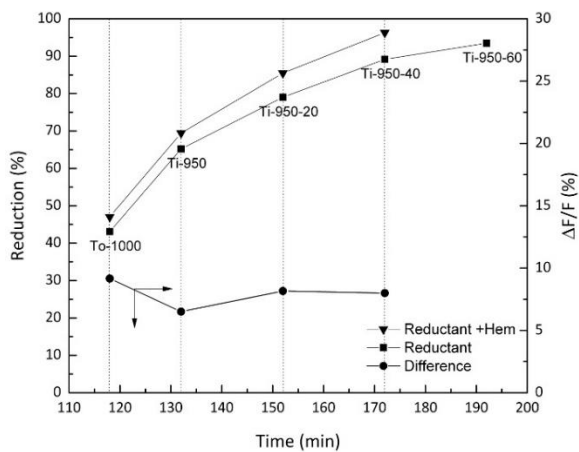
شکل ۵ نمودار میزان پیشروی احیا با گذشت زمان درباره مخلوط احیاکننده گرافیت-کربنات کلسیم

بر اساس شکل (۵)، قبل از اینکه T_0 به دمای واکنش گازی شدن کربن برسد، نرخ احیا نسبتاً کم است (T_0-900). در شرایطی که T_0 به بیش از دمای واکنش گازی شدن کربن می‌رسد، نرخ احیا افزایش قابل توجهی می‌یابد (بعد از T_0-900). پس از نمونه T_1-950 ، نرخ احیا تا حدودی افت می‌کند، زیرا بخش اعظم احیا (حدود ۶۳ درصد) قبل از آن اتفاق افتاده و احیای بیشتر مستلزم نفوذ گازی به مرکز نمونه است.

بررسی تغییرات فازی

آنالیز XRD نمونه‌های T_0-600 تا $T_1-950-60$ و نمونه کنسانتره اولیه در شکل (۶) نشان داده شده است. همان‌طور که مشاهده می‌شود، کنسانتره شامل فازهای هماتیت و مگنتیت است. در نمونه T_0-600 ، هماتیت به مقدار زیادی با

هماتیت و مگنتیت در اتمسفر احیاکننده تأثیر کاتالیزوری را دوباره ایجاد می‌کند. تأثیر افزودن هماتیت به مخلوط احیاکننده بر پیشروی احیا در شکل (۸) نشان داده شده است. براساس این شکل در حضور هماتیت، پیشروی احیا تا حدود ۹ درصد افزایش یافته است. این نکته نیز باید ذکر شود که هماتیت افزوده شده به مخلوط احیاکننده در مراحل میانی به آهن فلزی احیا و به‌عنوان کاتالیزور واکنش گازی شدن کربن نقش ایفا خواهد کرد. افزایش نرخ واکنش گازی شدن کربن منجر به افزایش فشار جزئی CO و در نتیجه افزایش نرخ احیا خواهد شد. افزایش نرخ احیا ناشی از افزایش نرخ گازی شدن کربن نشان‌دهنده تأثیر واکنش گازی شدن کربن به‌عنوان یکی از مراحل کنترل‌کننده فرایند احیا در کنار انتقال جرم است.

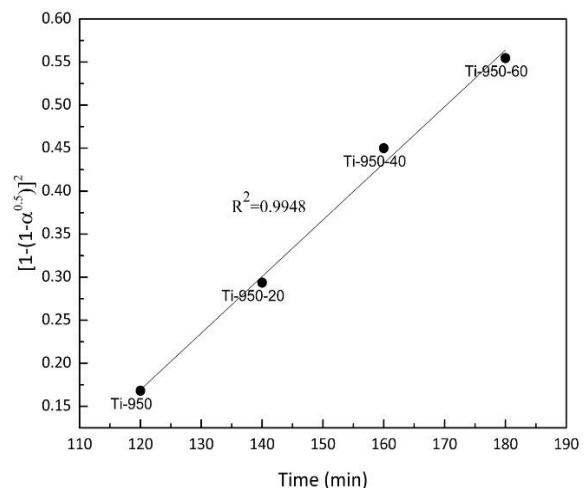


شکل ۸ تأثیر افزودن هماتیت به مخلوط گرافیت-کربنات کلسیم بر نرخ احیا با گذشت زمان

نقش قسمت درونی در فرایند احیا

اختلاف میزان پیشروی احیا در حالتی که به‌جای مخلوط درونی نمونه استوانه‌ای، پودر آلومینا قرار داده شده و در حالتی که نمونه به‌صورت توپر ساخته شده با حالت عادی در شکل (۹) نشان داده شده است. همان‌طور که مشاهده می‌شود، در حالتی که قسمت درونی نمونه، پودر آلومینا قرار دارد، میزان پیشروی احیا تا میزان ۶ درصد کمتر از حالت عادی است. به‌نظر می‌رسد این اختلاف عمدتاً ناشی از حذف میزان احیای ناشی از مخلوط درونی است، هرچند مقدار آن در مقابل مخلوط احیاکننده بیرونی اندک است. پس از پایان آزمون‌هایی که از پودر آلومینا در قسمت درونی استفاده شده بود، مشاهده

در این رابطه، α و k به ترتیب کسر احیا شده و ثابت سرعت است. در این مدل فرض می‌شود احیا در فصل مشترک لایه محصول و هسته واکنش نداده رخ می‌دهد و نرخ واکنش در فصل مشترک به مقدار قابل ملاحظه‌ای بالاتر از نرخ نفوذ است. همان‌طور که در شکل (۷) مشاهده می‌شود، این مدل انطباق خوبی با داده‌های تجربی پژوهش حاضر دارد. می‌توان نتیجه گرفت که در مراحل میانی تا پایانی احیا که تقریباً شرایط دمایی یکسانی در نمونه نیز حاکم است، انتقال جرم اجزای گازی با سازوکار نفوذ مولکولی به فصل مشترک FeO-Fe به‌عنوان مرحله کنترل‌کننده فرایند عمل می‌کند. احمد و همکاران [24] و چادوری و همکاران [11] نیز به نقش کنترل‌کننده انتقال جرم نفوذی در مراحل پایانی احیای کربوترمی در سیستم مخلوط و کامپوزیتی اکسید آهن/ زغال اشاره کرده‌اند.



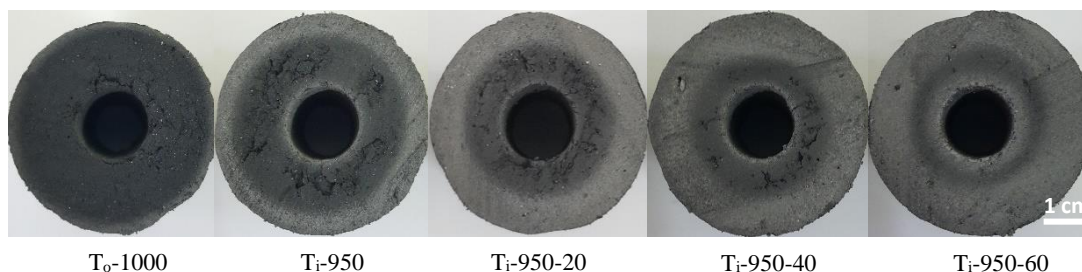
شکل ۷ نمودار $[1 - (1 - \alpha)^2]$ بر حسب زمان در مراحل میانی تا پایانی فرایند احیای کنسانتره هماتیت-مگنتیت

تأثیر افزودن هماتیت به مخلوط احیاکننده

برخی بررسی‌ها نشان داده است که حضور مقادیر جزئی آهن فلزی می‌تواند سبب افزایش نرخ گازی شدن گرافیت تا ۳۰۰ برابر شود [25]. واکر و همکاران [26] گزارش کرده‌اند که آهن فلزی فقط در حضور مقادیر اندک از FeO می‌تواند به‌عنوان کاتالیزور واکنش گازی شدن کربن عمل کند. اکسیداسیون آهن فلزی به مگنتیت و/یا هماتیت خاصیت کاتالیزوری را از بین می‌برد. با وجود این، احیای مجدد

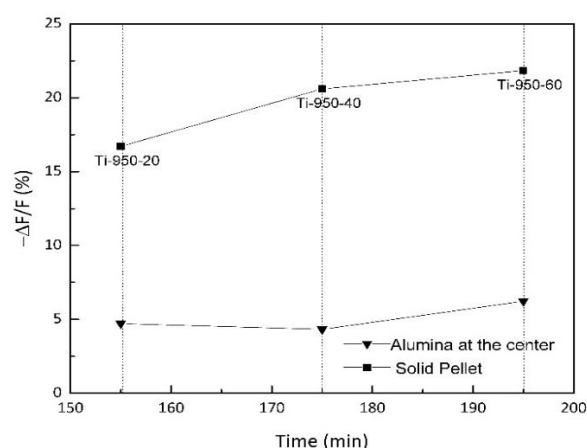
بررسی سطح مقطع نمونه‌ها

مقطع عرضی نمونه‌های T_0-1000 تا $T_i-950-60$ در شکل (۱۰) نشان داده شده است. در نمونه T_0-900 به علت پایین‌تر بودن دما نسبت به دمای واکنش گازی شدن کربن، آهن فلزی تشکیل نشده است. در نتیجه استحکام این نمونه برای برش‌دادن و آماده‌سازی مقطع کافی نبود. پیشروی احیا به صورت توالی شیمیایی در شکل (۱۰) مشهود است که علت آن نرخ پایین‌تر انتقال جرم نسبت به نرخ واکنش‌های احیاست [27]. همان‌طور که قبلاً نیز اشاره شد، انتقال جرم گاز احیاکننده (CO) به فصل مشترک FeO-Fe، کنترل‌کننده این فرایند در مراحل میانی تا پایانی است. در همه نمونه‌ها (T_0- 1000 تا $T_i-950-60$)، لایه آهن فلزی در منطقه بیرونی نمونه مشهود است. ضخامت لایه آهن فلزی از نمونه T_0-1000 تا نمونه $T_i-950-60$ رو به افزایش است. در شرایطی که دمای مخلوط احیاکننده درونی به بیش از دمای واکنش گازی شدن کربن افزایش یافته باشد، لایه آهن فلزی در منطقه داخلی نمونه نیز تشکیل شده است (T_i-950 تا $T_i-950-60$). با وجود این ضخامت این لایه بسیار کم است. رشد لایه آهن فلزی از سطح داخلی گندله استوانه‌ای بسیار کمتر از رشد آن از سطح بیرونی است. دمای کمتر مخلوط احیاکننده درونی سبب محدود شدن پیشروی احیا از سطح داخلی می‌شود. از طرف دیگر وجود جریان گازی به سمت مرکز محفظه (در جهت شیب دمایی) با جریان گازی از قسمت داخلی به سمت نمونه ممانعت خواهد کرد. این عوامل سبب پیشروی بسیار کند احیا از سطح داخلی نمونه می‌شود.



شکل ۱۰ مقطع عرضی نمونه‌های T_0-1000 تا $T_i-950-60$ احیاشده با مخلوط گرافیت-کربنات کلسیم

شد بخش قابل توجهی از این پودر به علت جریان گازی از روزنه محفظه به بیرون ریخته شده است. این پدیده نشان‌دهنده تأثیر جریان گازی در سازوکار انتقال جرم و گرما در این سیستم است. با توجه به شکل (۹)، در حالتی که نمونه توپر است، میزان پیشروی احیا تا نزدیک ۲۲ درصد نسبت به حالت عادی کاهش یافته است. به نظر می‌رسد علت این موضوع کاهش میزان تخلخل قسمت درونی (جایگزین شدن یک بستر پودری روان با نمونه فشرده دارای بایندر) و در نتیجه دشوار شدن نفوذ گازهای حاصل از احیا به سمت خروجی محفظه است. این نتایج نشان می‌دهد قسمت درونی نمونه استوانه‌ای در این فرایند اهمیت بسزایی به عنوان محل خروجی گازهای حاصل از احیا دارد که لازمه پیشرفت واکنش‌های احیاست و نقش مخلوط احیاکننده موجود در آن در این شرایط نسبتاً اندک است.



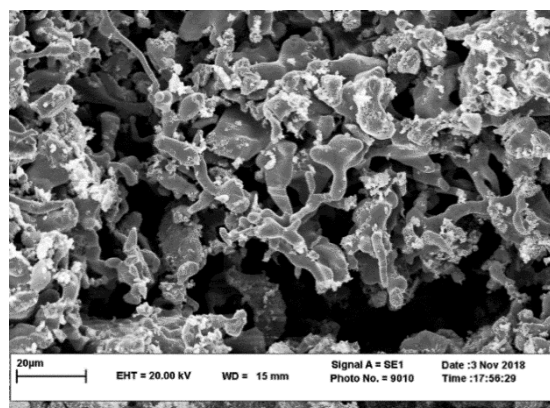
شکل ۹ اختلاف میزان پیشروی احیا در حالتی که به جای مخلوط احیاکننده درونی پودر آلومینا قرار داده شده (▼) و حالتی که نمونه به صورت توپر ساخته شده است (■) نسبت به حالت عادی

مخلوط گرافیت-کربنات کلسیم بررسی شده و نتایج زیر به دست آمده است:

۱. مراحل اولیه تا میانی فرایند احیا (تا ۶۳ درصد) عمدتاً تحت تأثیر انتقال حرارت داخل محفظه است.
۲. بر اساس نتایج آنالیز XRD، احیای وسیتیت به آهن فلزی تا قبل از شروع واکنش گازی شدن کربن در مخلوط احیاکننده انجام نمی‌شود.
۳. بر اساس نتایج آزمون‌های احیا و بررسی مدل سینتیکی، انتقال جرم گاز احیاکننده به فصل مشترک FeO-Fe به همراه واکنش گازی شدن کربن کنترل‌کننده فرایند احیا در مراحل میانی تا پایانی (۶۳ درصد تا ۹۳ درصد) است.
۴. بر اساس نتایج آزمون‌های احیا، مخلوط قرارگرفته در قسمت داخلی نمونه استوانه‌ای در این فرایند تأثیر کمی در پیشروی احیا داشته است (حداکثر ۶ درصد) و نقش اصلی قسمت درونی، تسهیل کردن خروج گازهای حاصل از احیاست.
۵. مشاهدات آزمایشگاهی نشان‌دهنده رشد فصل مشترک FeO-Fe به صورت توالی شیمیایی بوده که دلیل دیگری بر نقش کنترل‌کننده انتقال جرم در این سیستم است.

بررسی مورفولوژی آهن فلزی

تصاویر میکروسکوپ SEM از لایه آهن فلزی بیرونی نمونه T_i-950-60 در شکل (۱۱) نشان داده شده است. این شکل نشان‌دهنده تشکیل ساختار رشته‌های زینتر شده آهن فلزی در لایه بیرونی است. سیتن و همکاران [28] بیان کرده‌اند که تغییر پتانسیل احیایی مخلوط گازی و حضور CaO سبب تشکیل آهن فلزی به صورت رشته‌ای می‌شود.



شکل ۱۱ تصویر الکترون ثانویه از لایه آهن فلزی بیرونی نشان‌دهنده رشته‌های زینتر شده آهن فلزی

نتیجه‌گیری

در این تحقیق، سازوکار احیای کنسانتره هماتیت-مگنتیت با

مراجع

1. Ghosh, A., "Kinetics of reduction of iron oxide in mixtures of oxide and carbon: a critical appraisal", *Transactions of the Indian Institute of Metals*, Vol. 66, pp. 71-77, (2013).
2. Sah, R. and Dutta, S. K., "Kinetic studies of iron ore-coal composite pellet reduction by TG-DTA," *Transactions of the Indian Institute of Metals*, Vol. 64, NO. 6, pp. 583-591, (2011).
3. Khattoi, S. C. and Roy, G. G., "Reduction efficiency of iron ore-coal composite pellets in tunnel kiln for sponge iron production," *Transactions of the Indian Institute of Metals*, Vol. 68, NO. 5, pp. 683-692, (2015).
4. Havemann, H. A., "Direct Iron Ore Reduction for Asia," pp. 260-272, (1959).
5. Eriksson, K. and Larsson, M., "Energy survey of the sponge iron process," Department of Chemical Engineering, Lund Institute of Technology, Lund, Sweden, (2005).
6. Dutta, S. K., "Kinetics and Mechanism of Iron Ore-Coal Composite Pellets Reduction," *Transactions of the Indian Institute of Metals*, Vol. 58, NO. 5, pp. 801-808, (2005).

7. Mishra, S. and Roy, G.G., "Effect of amount of carbon on the reduction efficiency of iron ore-coal composite pellets in multi-layer bed rotary hearth furnace (RHF)," *Metallurgical and Materials Transactions B*, Vol. 47B, pp. 2347-2356, (2016).
8. Sun, K. and Lu, W.-K., "Mathematical modeling of the kinetics of carbothermic reduction of iron oxides in ore-coal composite pellets," *Metallurgical and Materials Transactions B*, Vol. 40B, pp. 91-103, (2009).
9. Fortini, O.M., and Fruehan, R.J., "Rate of reduction of ore-carbon composites: part II. modeling of reduction in extended composites," *Metallurgical and Materials Transactions B*, Vol. 36B, pp. 709-717, (2005).
10. Sun, S. and Lu, W.-K., "A theoretical investigation of kinetics and mechanisms of iron ore reduction in an ore/coal composite," *ISIJ International*, Vol. 39, NO. 2, pp. 123-129, (1999).
11. Chowdhury, G.M., Murmu, C.S., Roy, S.K. and Roy, G.G., "Some studies to establish the reaction mechanism for the reduction of iron ore-graphite composite pellets in a packed bed reactor," *Steel Research International*, Vol. 81, NO. 11, pp. 925-931, (2011).
12. Mookherjee, S., Ray, H.S. and Mukherjee, A., "Thermogravimetric studies on the reduction of hematite ore fines by a surrounding layer of coal or char fines. part 1. isothermal kinetic studies," *Thermochimica Acta*, Vol. 95, pp. 235-246, (1985).
13. Mookherjee, S., Ray, H.S. and Mukherjee, A., "Thermogravimetric studies on the reduction of hematite ore fines by a surrounding layer of coal or char fines. part 2. non-isothermal kinetic studies," *Thermochimica Acta*, Vol. 95, pp. 247-256, (1985).
۱۴. مختاری، م.، "مطالعه متغیرهای موثر بر فرایند Hогanas در تولید آهن اسفنجی به روش احیا مستقیم توسط زغال"، پایان نامه کارشناسی ارشد، دانشگاه فردوسی مشهد، (۱۳۹۲).
۱۵. شکبیا، ع.، زارع، م.، همتی، م. ح.، وحدتی خاکی، ج. و ضابط، ا. "بررسی تأثیر افزودن کاتالیست های فلزی بر روند احیای اکسید آهن هماتیته توسط زغال سنگ کک نشو به روش لایه ای"، ششمین همایش مشترک انجمن مهندسی متالورژی و انجمن علمی ریخته گری ایران، (۱۳۹۱).
16. Fruehan, R.J., "The rate of reduction of iron oxides by carbon," *Metallurgical and Materials Transactions B*, Vol. 8, NO. 1, pp. 279-286, (1977).
17. Rao, Y., "The kinetics of reduction of hematite by carbon," *Metallurgical Transactions*, Vol. 2, NO. 5, p. 1439-1447, (1971).
18. Casal, M., Díez, M., Alvarez, R. and Barriocanal, C., "Primary tar of different coking coal ranks," *International Journal of Coal Geology*, Vol. 76, NO. 3, pp. 237-242, (2008).
19. Liu, G.S., Strezov, V., Lucas, J.A. and Wibberley, L.J., "Thermal investigations of direct iron ore reduction with coal," *Thermochimica Acta*, Vol. 410, pp. 133-140, (2004).
20. Sohn, I. and Fruehan, R.J., "The reduction of iron oxides by volatiles in a rotary hearth furnace process: part I. the role and kinetics of volatile reduction," *Metallurgical and Materials Transactions B*, Vol. 36B, pp. 605-612, (2005).
21. Plaul, F.J., Böhm, C. and Schenk, J.L., "Fluidized-bed technology for the production of iron products for steelmaking," *The Journal of The Southern African Institute of Mining and Metallurgy*, Vol. 108, pp. 121-128,

- (2009).
22. Rao, T., "Kinetics of Calcium Carbonate Decomposition," *Chemical Engineering & Technology*, Vol. 19, pp. 373-377, (1996).
 23. Khawam, A. and Flanagan, D.R., "Solid-state kinetic models: basics and mathematical fundamentals," *The Journal of Physical Chemistry B*, Vol. 110, NO. 35, p. 17315–17328, (2006).
 24. hmed, H.M., Viswanathan, N.N. and Björkman B., "Isothermal reduction kinetics of self-reducing mixtures," *Ironmak. Steelmak*, pp. 1-10, (2016).
 25. Lewis, J., Thermal Gas Reactions of Graphite, Ch. 4, Modern Aspects of Graphite Technology, Academic Press, London, (1970).
 26. Walker, P.L., Shelef, Jr.M. and Anderson, R.A., "Catalysis of Carbon Gasification" Chemistry and Physics of Carbon, Marcel Dekker Inc., New York, (1968).
 27. Ghosh, A. and Ghosh, S., A Textbook of Metallurgical Kinetics, PHI Learning, 2014.
 28. Seaton, C.E., James, S., Foster and Velasco, J., "Structural changes occurring during reduction of hematite and magnetite pellets containing coal char," *Transaction of the Iron and Steel Institue of Japan*, Vol. 23, pp. 497-503, (1983).

